

## (160) 溶融金属中の吹込み気泡の挙動について

名古屋大学 工学部

○佐野正道 森一美

1. 緒言 さきに<sup>1,2)</sup>溶融金属中の單一ノズルより生成する気泡の大きさを圧力パルス法、電気探針法により測定した。本研究では、單一ノズルより生成した気泡が上昇中に分裂、合体して溶融金属中に分散する過程を電気探針法により調べ、ガスホールドアップ、平均気泡上昇速度、分散気泡の大きさについて検討を加えた。

2. 実験 溶融金属のモデルとして水銀を用いた。容器はステンレス製で、内径7cm、高さ60, 100cmである。容器底部のステンレス製の上向きノズル(外径×内径=0.7×0.2, 0.4×0.24cm)より窒素を吹込んだ。ガス流量 $V_g$ は160~1330(cc/sec at 1 atm), ノズルレイノルズ数 $Re_0 (=4W/\pi d_{no} \mu_g)$ ,  $W$ : 貨量流量(g/sec),  $d_{no}$ : ノズル外径(cm),  $\mu_g$ : ガス粘度(g/cm·sec)は3400~28100である。ノズル先端からの距離 $h = 12, 25, 35, 55, 65, 75$ cmにおいて、半径方向に容器中心より0.5cmおきに7ヶ所で気泡頻度(気泡が電気探針先端に衝突する頻度)、局所ガスホールドアップを電気探針法により測定した。静止浴深さは $h = 12, 25, 35$ cmでは40cm,  $h = 55, 65, 75$ cmでは60, 70cmである。

3. 実験結果および考察 図1には、半径方向の各位置で測定した気泡頻度の総和を求め、ノズルからの距離 $h$ に対して示した。気泡頻度の総和は、ノズルからの距離 $h = 12 \sim 25$ cmで若干増加する傾向がみられたが、 $h \geq 25$ cmではほぼ一定であることがわかった。こより、 $h \geq 25$ cmでは気泡の分散状態はあまり変化しないことが推定される。

図2には、 $h = 65$ cmにおいて測定した局所ガスホールドアップ(電気探針の先端を気泡が占めている時間の割合)より容器断面平均のガスホールドアップを求め、空塔速度 $V_s$ に対して示した。本実験結果は單一ノズルを用いた空気-水系の結果に一致している。

図3には、図2のガスホールドアップ $H$ を用いて計算した平均気泡上昇速度 $v_B (=V_s/H)$ と空塔速度の関係を示した。本実験条件下では、 $v_B$ は50~100cm/secであった。

図3の平均気泡上昇速度を用い、1個の気泡が探針先端を通過するのに要する時間の分布より平均気泡径を求ることができるが、本実験の結果では気泡径の分布は非常に広く、単純に平均気泡径を求ることができないやった。

1)佐野, 森: 鉄と鋼, 60(1974), p348. 2)M. Sano, K. Mori, Y. Fujita: Met. Trans., 7B(1976), p1300. 3)R. J. Fruehan: Ironmaking Steelmaking, 3(1976), p33.

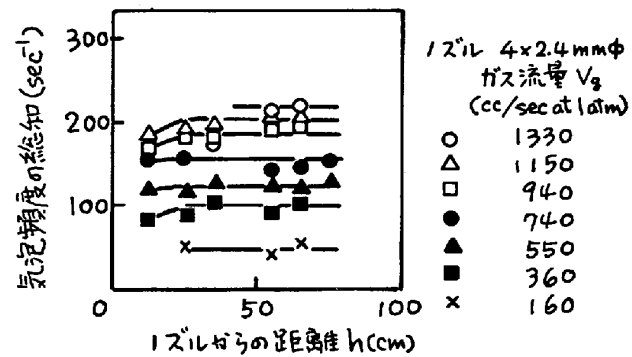


図1 気泡頻度とノズルからの距離の関係

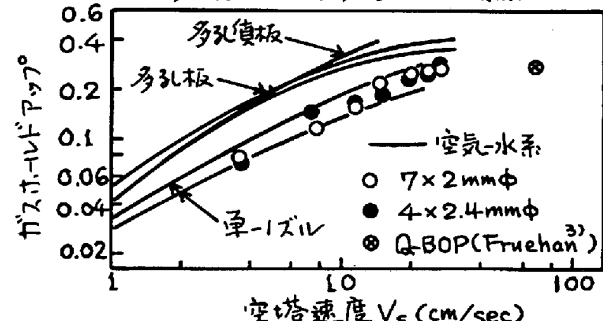


図2 ガスホールドアップと空塔速度の関係

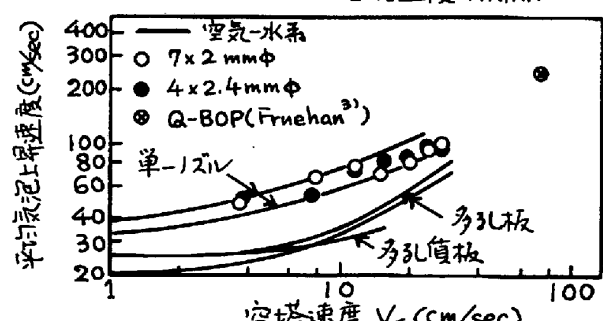


図3 平均気泡上昇速度と空塔速度の関係